

Zeitschrift: Bulletin de la Société Vaudoise des Sciences Naturelles
Band: 20 (1884-1885)
Heft: 90

Artikel: Études géologiques sur le Pays-d'Enhaut vaudois
Kapitel: [Planches]
Autor: Schardt, Hans
DOI: <https://doi.org/10.5169/seals-260130>

Nutzungsbedingungen

Die ETH-Bibliothek ist die Anbieterin der digitalisierten Zeitschriften. Sie besitzt keine Urheberrechte an den Zeitschriften und ist nicht verantwortlich für deren Inhalte. Die Rechte liegen in der Regel bei den Herausgebern beziehungsweise den externen Rechteinhabern. [Siehe Rechtliche Hinweise.](#)

Conditions d'utilisation

L'ETH Library est le fournisseur des revues numérisées. Elle ne détient aucun droit d'auteur sur les revues et n'est pas responsable de leur contenu. En règle générale, les droits sont détenus par les éditeurs ou les détenteurs de droits externes. [Voir Informations légales.](#)

Terms of use

The ETH Library is the provider of the digitised journals. It does not own any copyrights to the journals and is not responsible for their content. The rights usually lie with the publishers or the external rights holders. [See Legal notice.](#)

Download PDF: 17.11.2024

ETH-Bibliothek Zürich, E-Periodica, <https://www.e-periodica.ch>

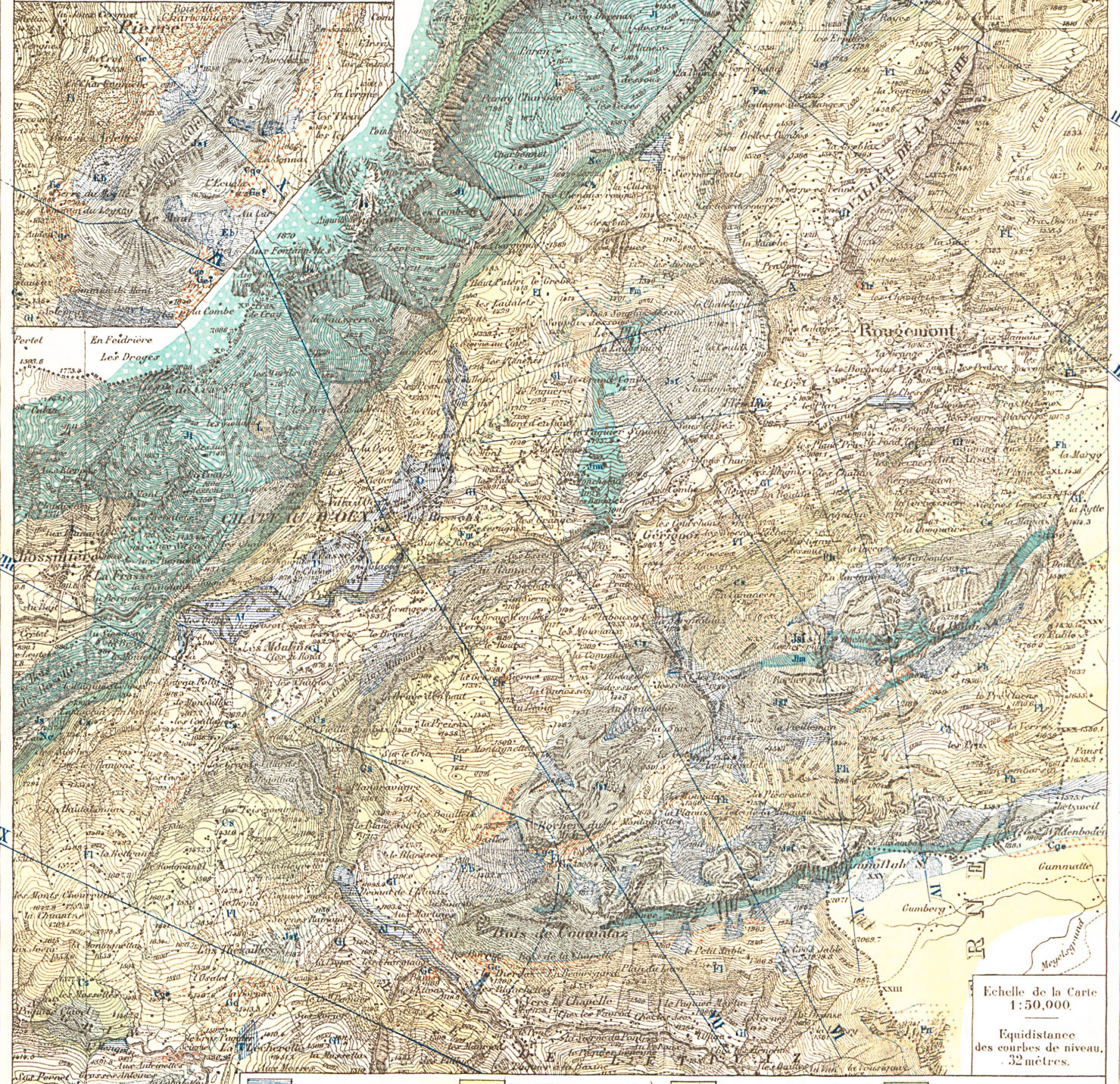
CARTE GÉOLOGIQUE

1881-1883.

DU PAYS D'ENHAUT VAUDOIS

PAR

HANS SCHARDT

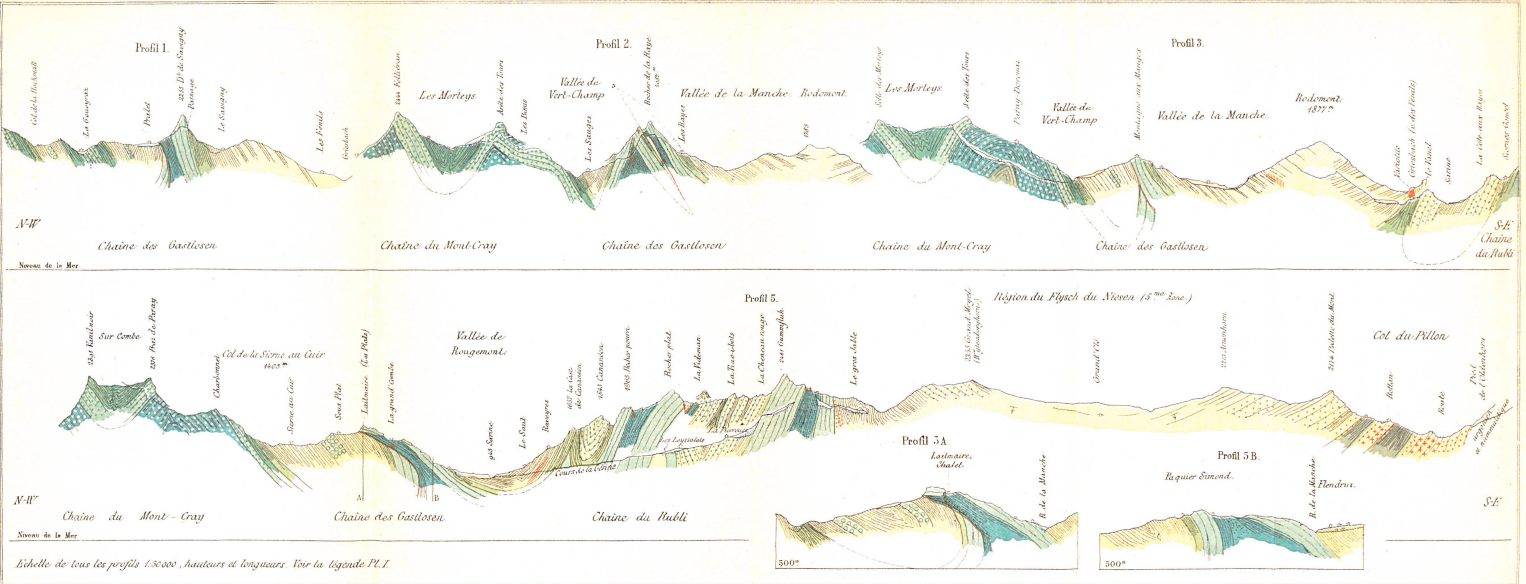


Echelle de la Carte
1:50,000.

Equidistance
des courbes de niveau,
32 mètres.

Al	Alluvions (Graviers, sables, argiles, etc)	Fl	Flysch (Schistes, grès, etc)	Cs	Crétacé supérieur (rouges)	L	Lias (Infér. et sup.)
D	Cônes de déjection	Fm	Poudingue calcaire (Mocassin gestein)	Ne	Néocomien	Cgt	Corgneule (Trias ??)
Ea	Cônes d'éboulement, éboulis	Fb	Brèche calcaire (Hornfluh gestein)	Js	Malm à Chailles siliceuses	q	Source
M	Marais	Fu	Grès et conglomérats polygéniques du Niesen	Ji	Dogger à Zoophycos	▲	Bloc erratique
T	Tourbe	Ge	Gypse et anhydrite éocènes	Jsf	Malm, calcaire massif (fétide)	*	Gisement fossilifère
Gl	Terrains glaciaires	Cge	Corgneule et dolomie éocènes	Jim	Couches à Mytilus, Dogger	—	Ligne de contact mécanique

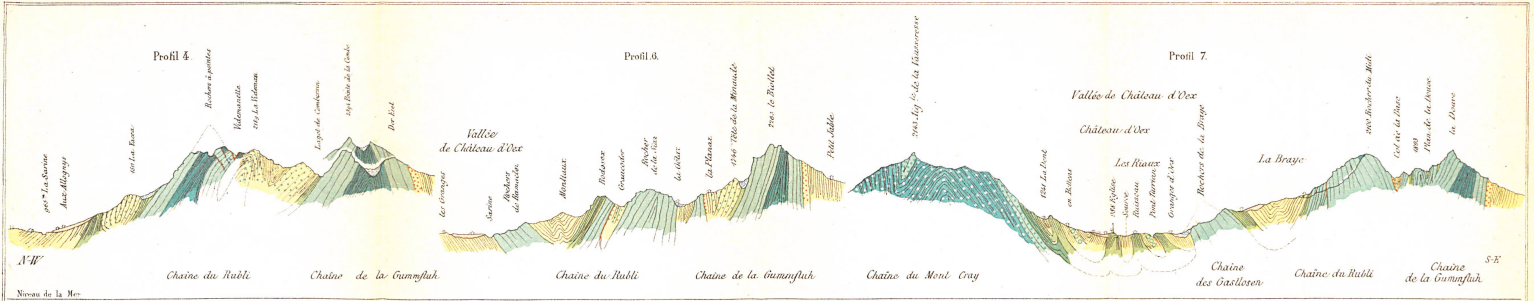
Report sur pierre de la feuille IX de la carte topographique du Canton de Vaud avec autorisation du Département militaire vaudois du 26 Mars 1883.



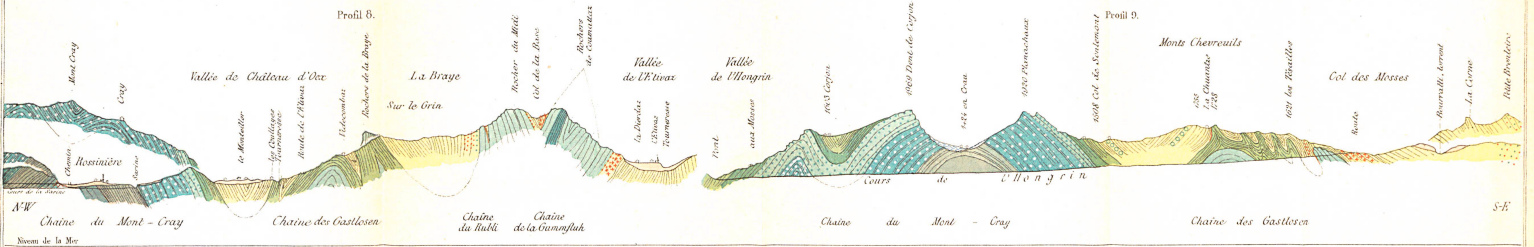
Échelle de tous les profils 1:5000, hauteurs et longueurs. Voir la légende PL. I.

H. Schardt.

J. Chappoz, Libraire.

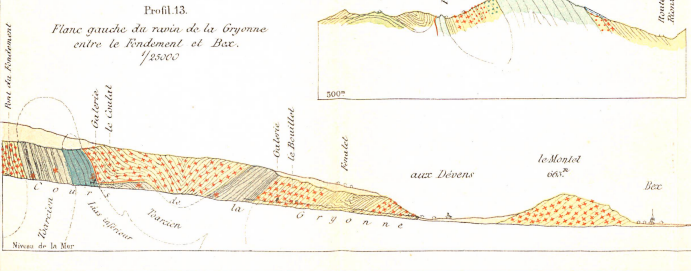
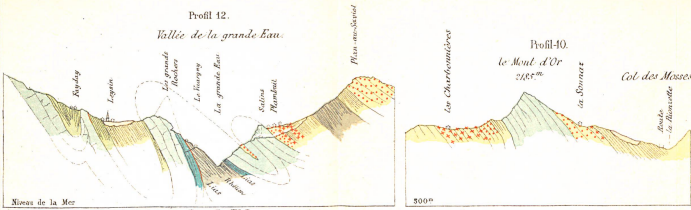


Niveau de la Mer. Echelle de tous les profils 1-50000. Légende P.I.



H. Schardt.

Ed. J. Chapoz, Lausanne



H. Schardt

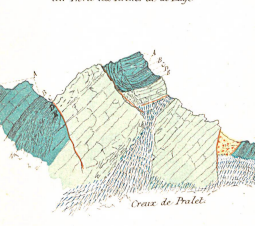
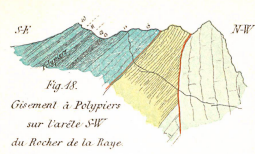


Fig. 15. Structure du Rocher à Pointes.

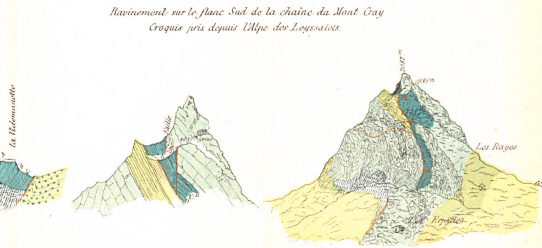
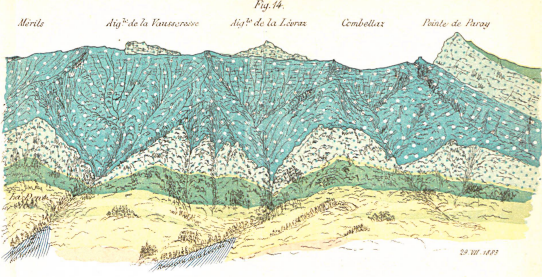


Fig. 17. Structure du sommet du Rocher de la Raye.

Fig. 16. Croquis géologique du Rocher de la Raye pris depuis le sommet de la Laitière.

Lith. J. Chappuis, Lausanne

*Replats et enfoncements du Rhyssch
sur la pente Est de la haute de Prax Cimet (Chaussey)*

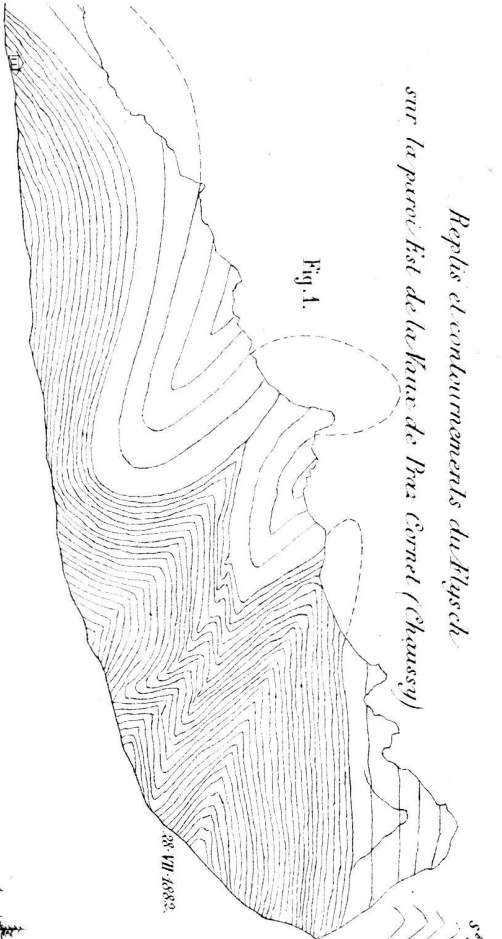


Fig. 1.

*Formation des vallées transversales
B par érosion fluviale.
(Figure idéale)*

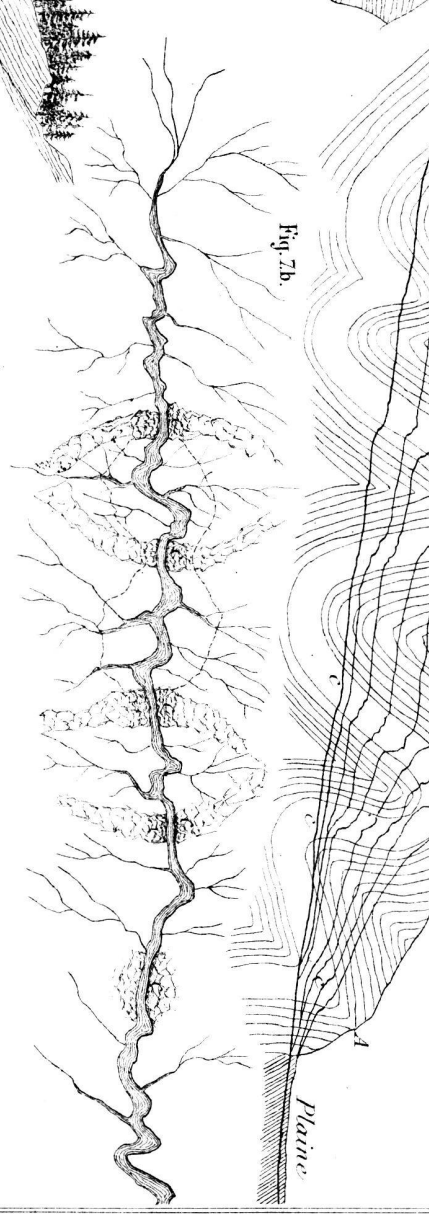


Fig. 7b.

*Entonnements dans le gypse
à la Lichertle (sud des Messes)*

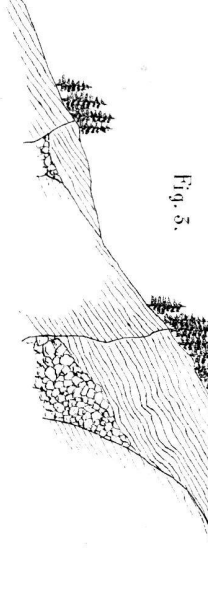


Fig. 5.

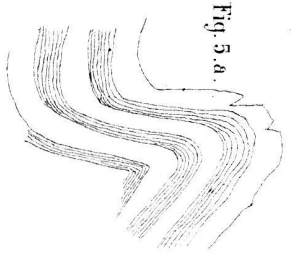
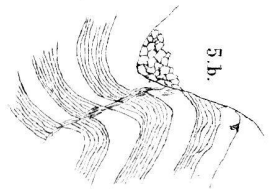
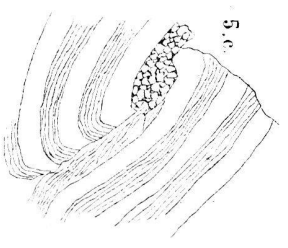


Fig. 5 a.



5 b.



5 c.

*Honnas de Prax Cimet
(Fisch de Chaussey)*

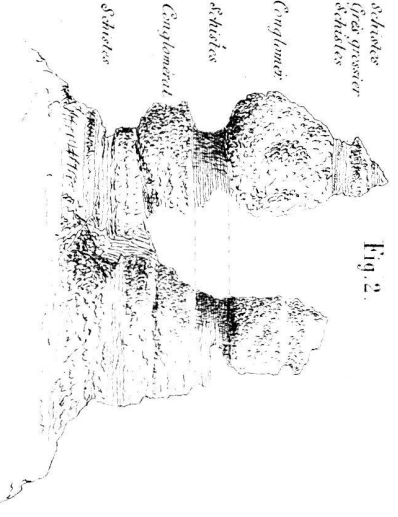
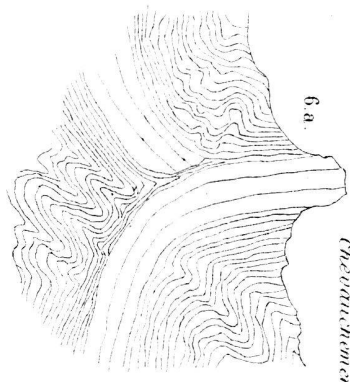


Fig. 2.

*Schistes
Grès grossier
Schistes
Conglomérat
Schistes
Schistes*

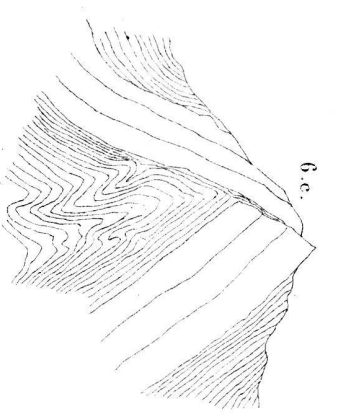
Chevaulements anticlinaux.



6 a.



6 b.

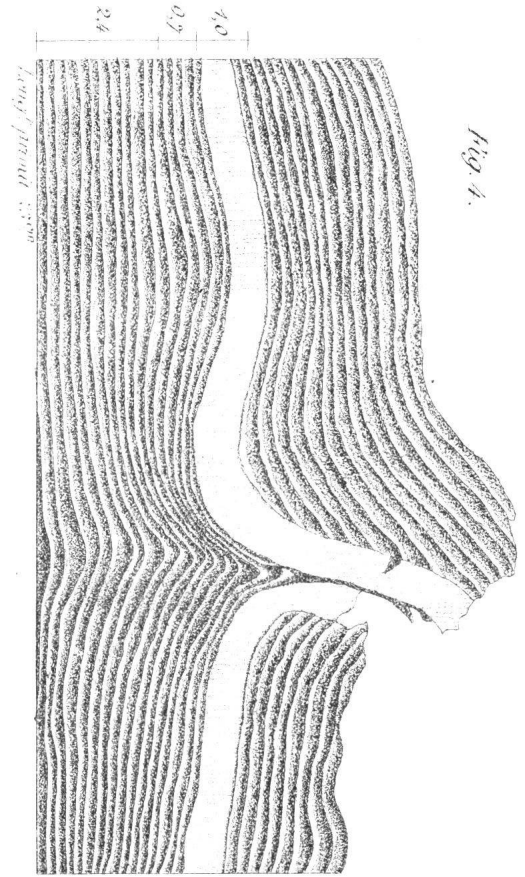
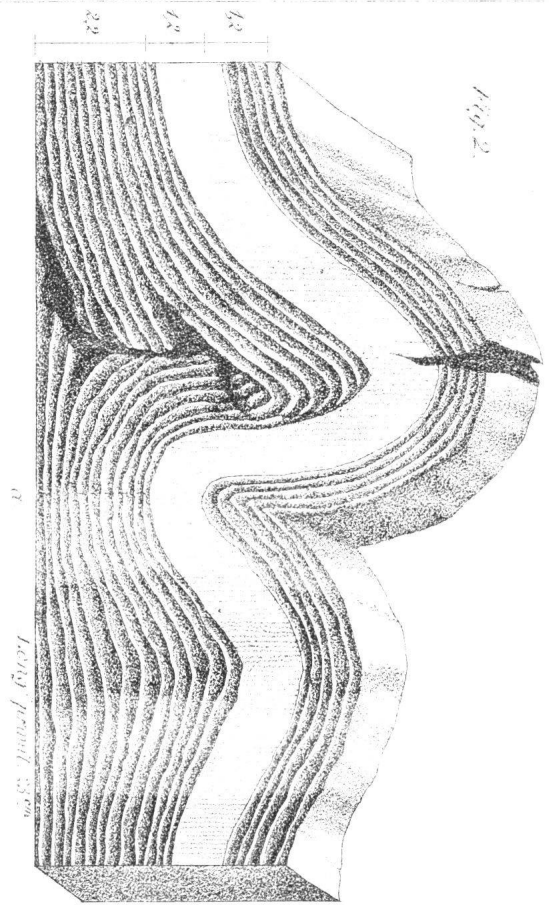
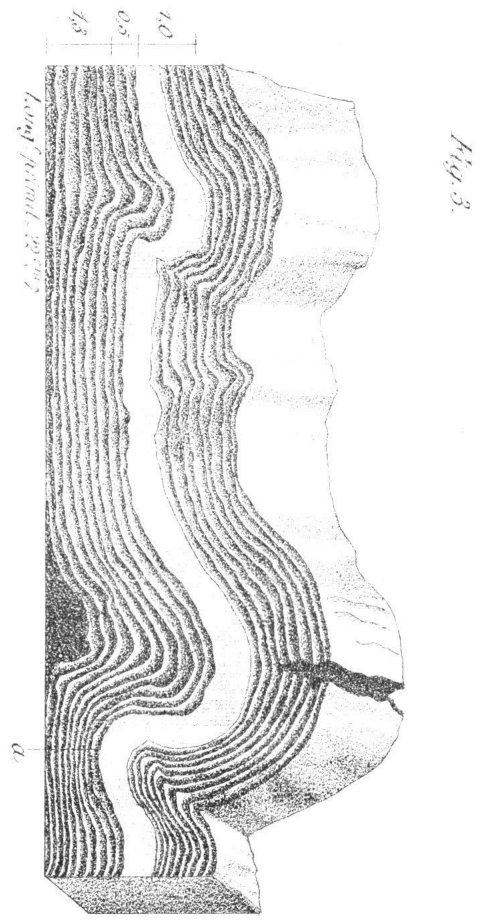
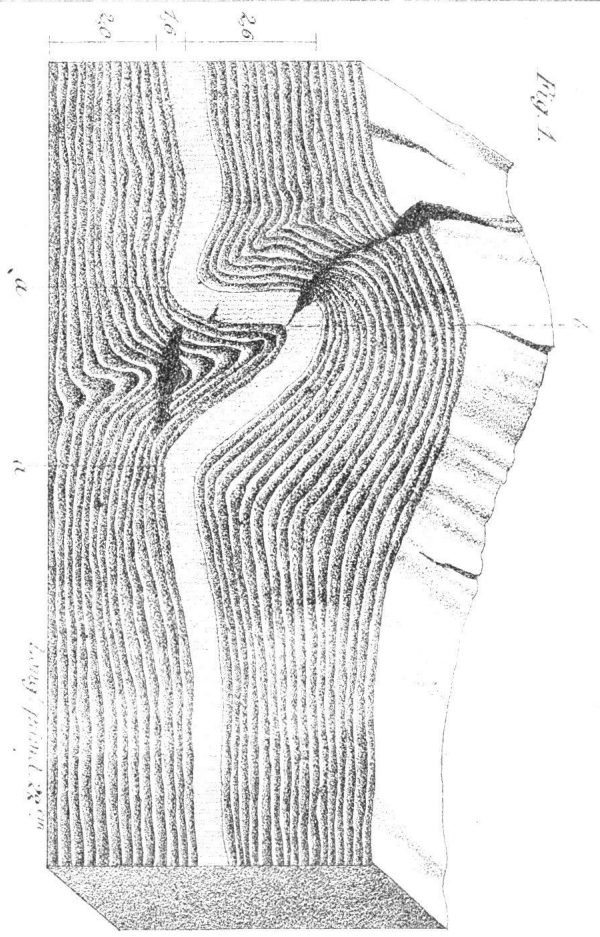


6 c.



Fig. 4.

Faïlle (Paracasse)



Echelle proportionnelle aux $\frac{2}{3}$ de la grandeur réelle.



 Masse molle, mélange d'argile et de limon, striée horizontalem^{te} à la surface
  Argile pure à divers degrés de durcissement.

Fig. 5a.

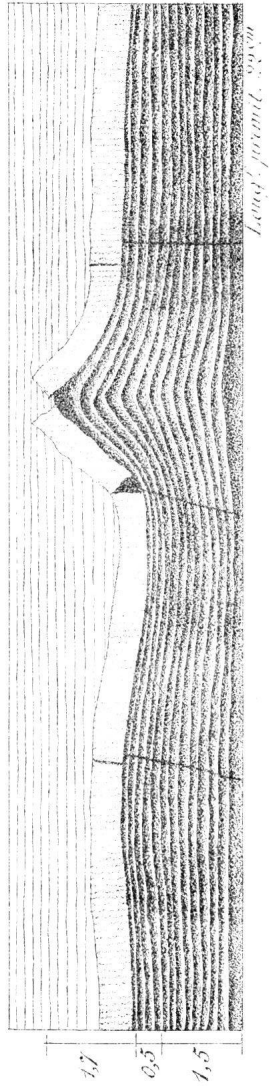


Fig. 5b.

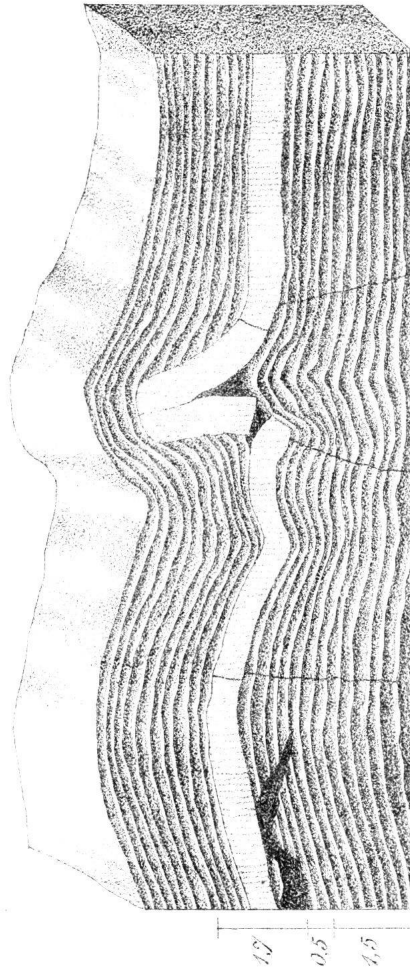


Fig. 7a.

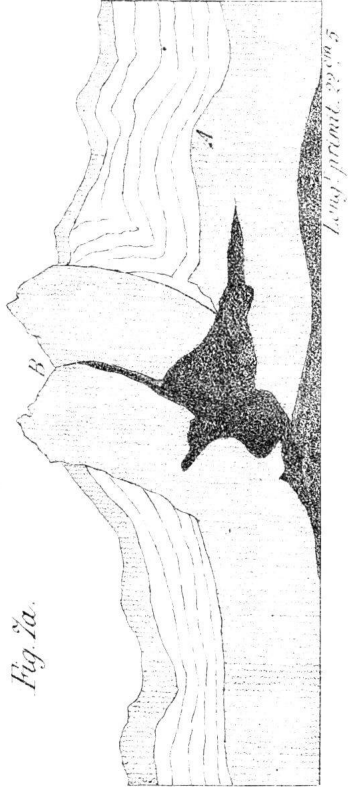


Fig. 7b.

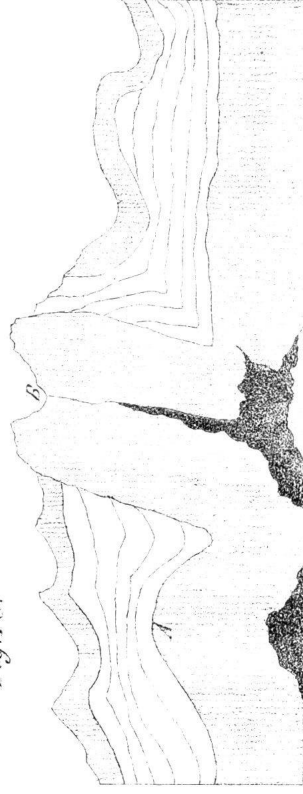


Fig. 8.

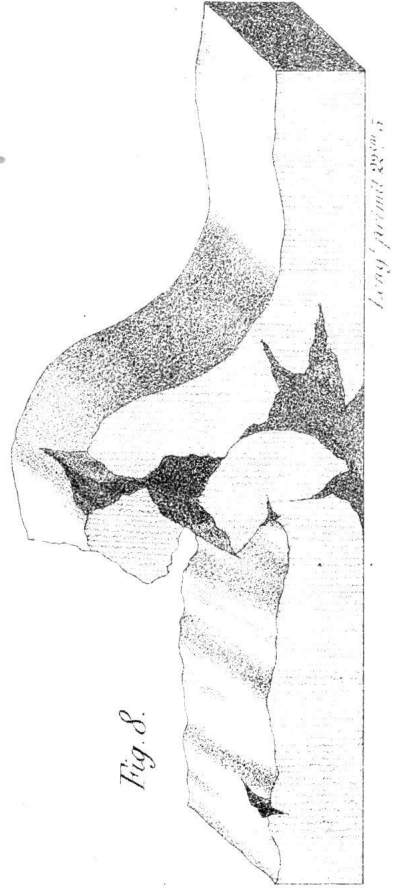


Fig. 6.

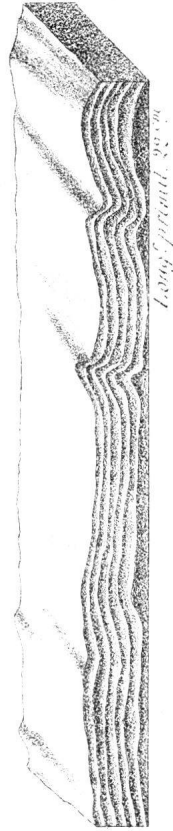


Fig. 9.

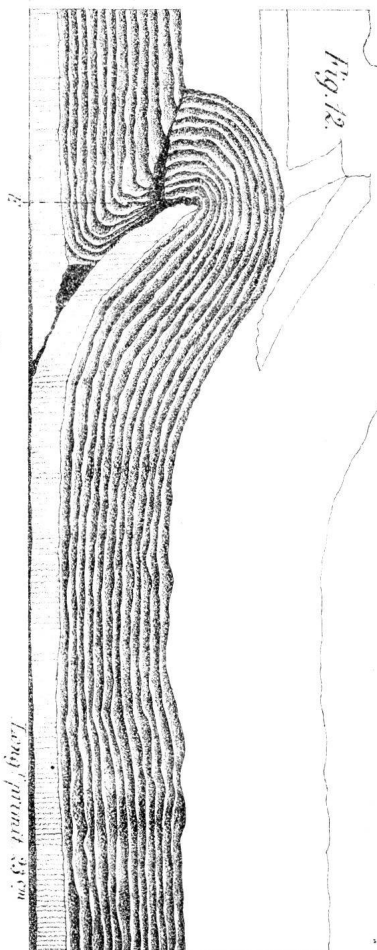
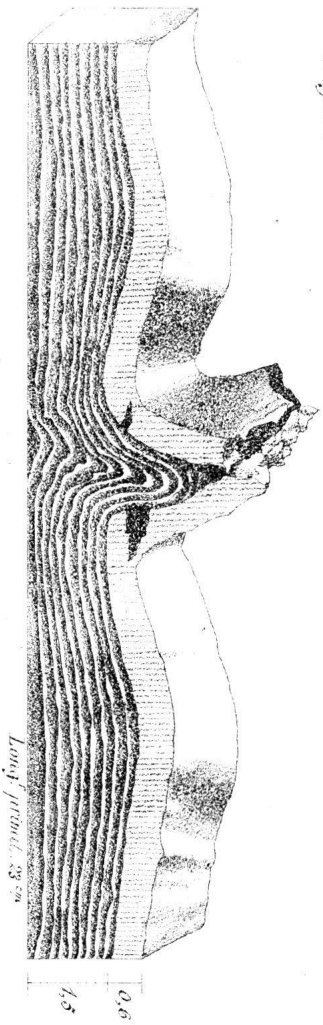


Fig. 10.

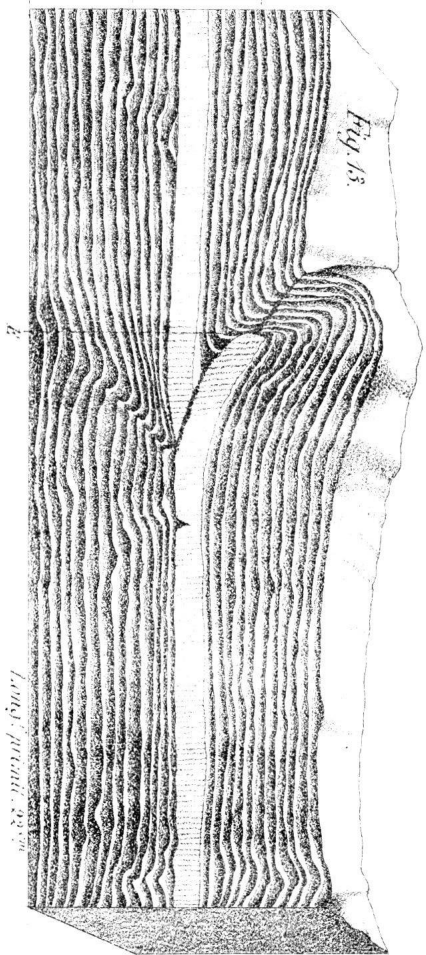
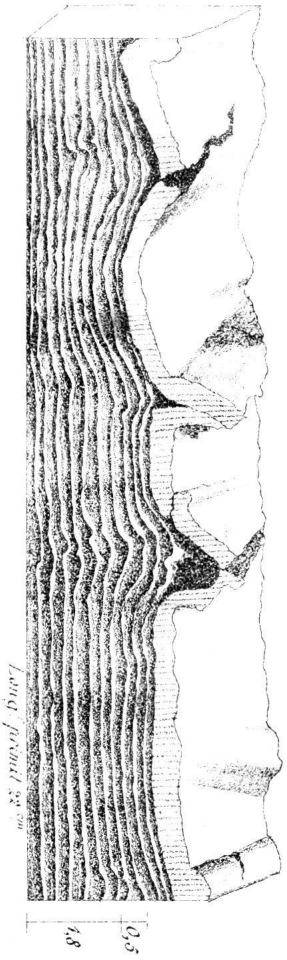


Fig. 11.

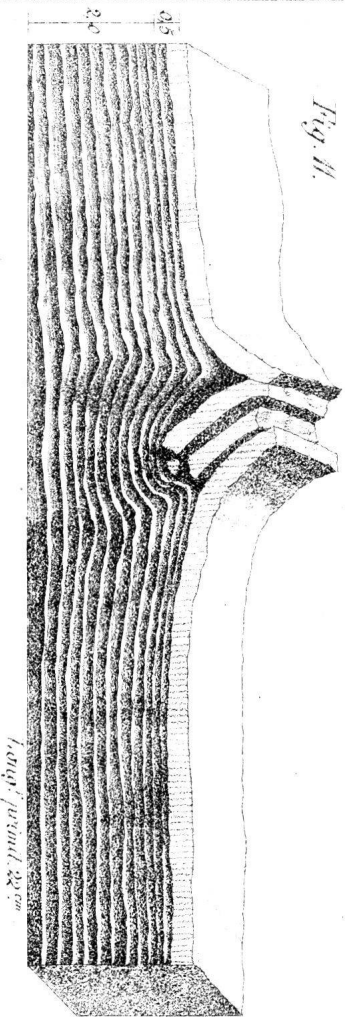


Fig. 14.

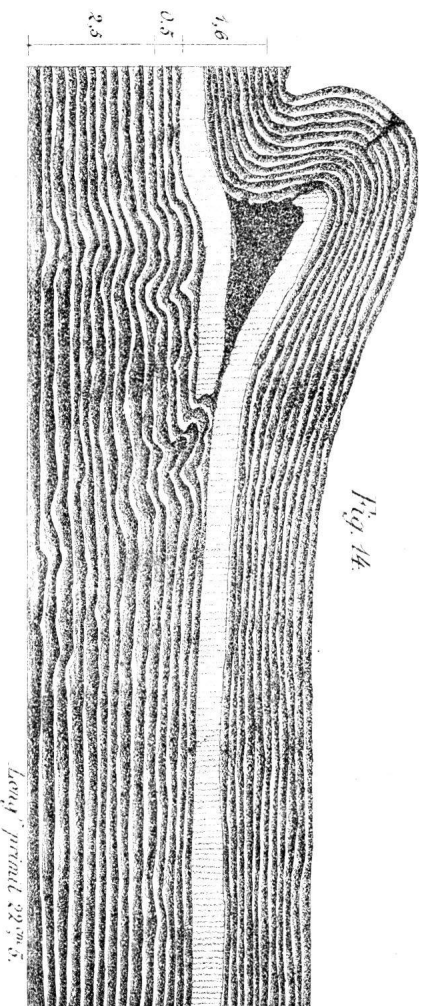


Fig. 15.

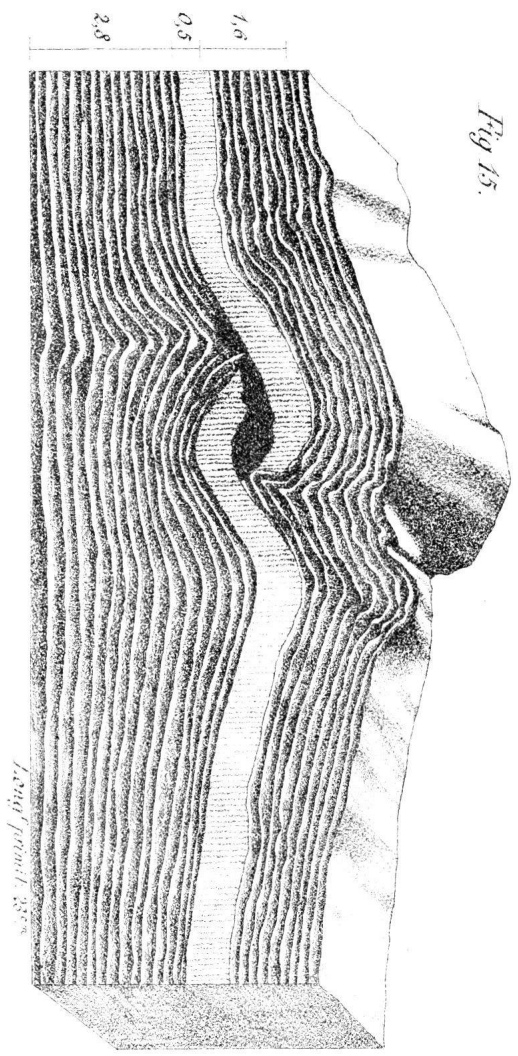


Fig. 17.

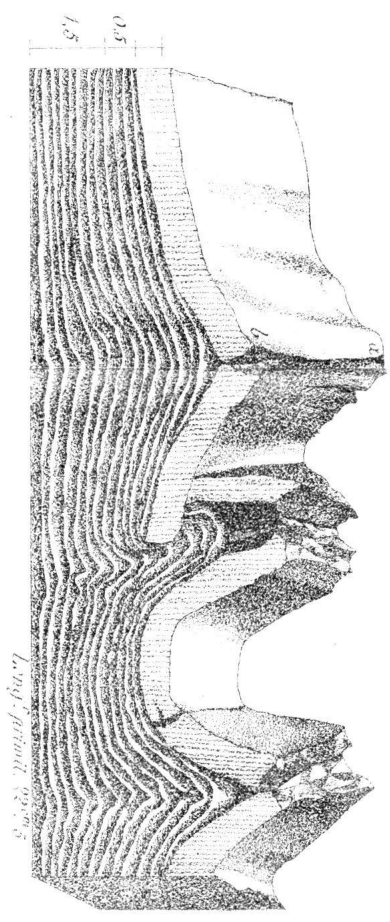


Fig. 16.

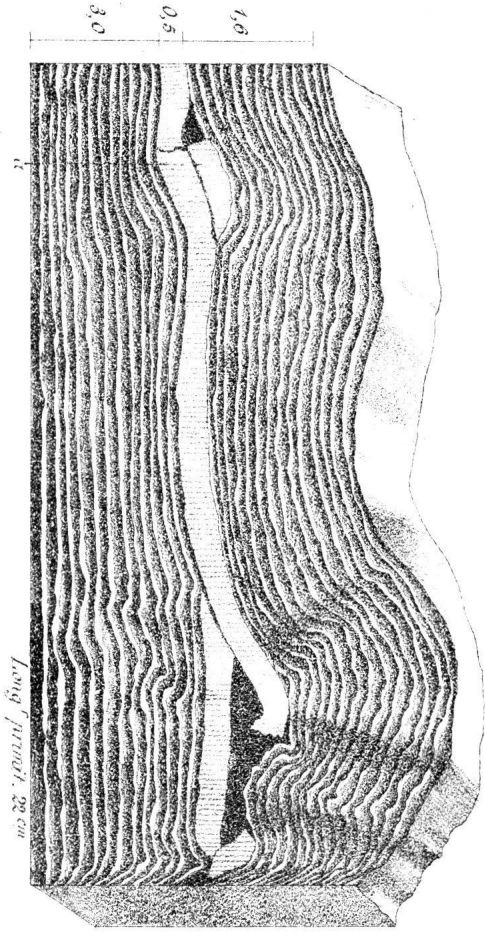
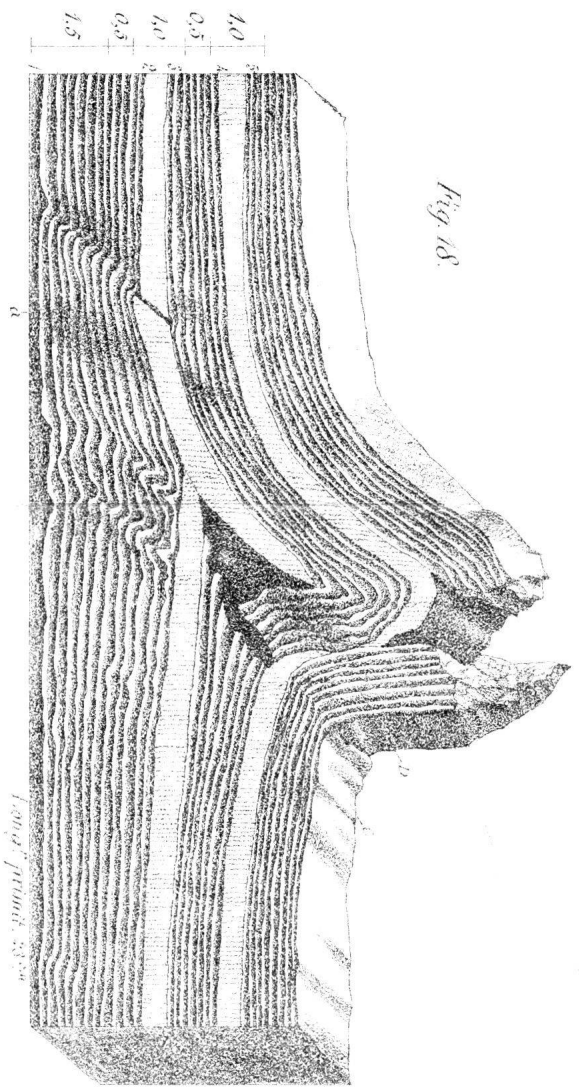


Fig. 18.



Observations sur les planches.

Pl. I. L'impression topographique de la carte n'est pas très nette, le report sur pierre ayant dû être tiré avant l'aciérage de la plaque gravée originale.

La partie ajoutée en dessous du titre fait suite au Mont-d'Or à l'angle S.-W., à gauche en bas.

Par suite d'une inadvertance, l'équidistance des courbes de niveau est indiquée comme étant de 32 mètres, tandis qu'elle est de 16 mètres seulement.

Les lignes bleues indiquent le tracé des profils; les chiffres romains (I-XI) qui les accompagnent, correspondent aux profils 1-11, pl. II, III et IV.

Pl. II, III et IV. L'échelle des profils 1 à 12 est la même que celle de la carte, ainsi que la légende des couleurs qui est la même pour toutes les figures, sauf les exceptions suivantes :

Dans prof. 8, pl. III, et 13, pl. IV, le *lias inférieur* (Sinémurien) est indiqué par du *lilas foncé*, teinte qui ne se trouve pas sur la carte où le lias inférieur n'est pas séparé du lias supérieur par une teinte spéciale.

Dans prof. 5, à droite, le gypse et la corneille du Col du Pillon, et dans prof. 13, pl. IV, le gypse et l'anhydrite de Bex sont désignés par la même teinte que les terrains de cette nature d'âge éocène bien défini. D'après ce qui est dit dans le texte, il n'y a pas d'obstacle à l'emploi de la même couleur pour ces deux terrains, qui, s'ils ne sont pas exactement du même âge, se correspondent au moins en partie.

Dans prof. 1, pl. II, le lithographe a omis d'indiquer le crétacé supérieur (vert pâle), entre le néocomien de l'arête de la Goueyraz et le flysch du col de la Hochmatt.

Dans prof. 12, le mot *lias* à droite se trouve trop près du bleu foncé qui indique les *couches à Mytilus* que je supposai là et que M. Pittier a reconnues réellement en cet endroit.

Les fig. 14 à 19, pl. IV, ne sont pas faites à une échelle déterminée; les couleurs sont les mêmes que celles de la carte et des autres profils. Dans fig. 14 il y a entre le néocomien et le malm une traînée vert-pâle, ce qui ne doit pas être.

Dans pl. VI à IX, sont figurées des expériences sur la compression de couches d'argile. Ces figures sont faites d'après mes dessins originaux réduits au moyen du pantographe aux $\frac{2}{3}$ de leur grandeur.

La longueur des couches d'argile *avant* la compression est indiquée en dessous de chaque figure. Les chiffres et l'échelle placés à côté indiquent l'épaisseur de chaque couche *avant* la compression. Les variations de la longueur et de l'épaisseur *après* la compression peuvent facilement être vérifiées au moyen de l'échelle proportionnelle, pl. VI. Cette même échelle peut servir à reconnaître le déplacement intérieur des couches d'argile molle, d'après les stries qui y furent tracées à égale distance avant la compression et dont il y avait 6 par centimètre.

